

日本大学理工学部 学生員 大川衛人
 日本大学理工学部 正員 長尾義三
 日本大学理工学部 正員 岩井茂雄

1.はじめに

本実験では、景観性を損なわず、利用空間の高い、そして海水の交換機能を有したパイプ状の透水性消波構造物（以下水平消波管と呼ぶ）の開発を目指し、2次元水路による模型実験を行って、その消波特性（反射率、透過率、エネルギー損失率）を調べたものである。以下その結果を述べる。

2. 実験概要

2-1 実験模型：実験に用いた消波管は、図-1に示すように管口部、管内部の断面形状に変化を持たせたものである。同一形状、寸法の消波管を波の入射方向に向けて水平に多数設置し、波が消波管を通過するときに流れにかわり、かつ急縮・急拡を繰返することで、エネルギーを低下させようとするものである。実験には断面形状、寸法を変えた5種類の消波管を用いた。その諸元を表-1に示す。

2-2 実験装置：日本大学理工学部総合水槽棟内の平面水槽（ $10 \times 4 \times 0.6\text{m}$ ）の中央部に、幅80cmの間隔で導波板を設置し、2次元水路として用いた。造波板から4.5mの水路内に、開口率40%の基礎ブロックを置き、その上に消波管模型を設置した。水平消波管の概要を図-2に示す。

2-3 実験方法：表-2に示す実験波を造波し、容量式波高計により入・反射波および、透過波の波高を測定した。反射率の計算は合田らの入・反射波の分離推定法¹⁾によった。Type I, II, IIIさらにこの結果を用いて透過率を算定した。

3. 実験結果および考察

図-3および図-4にType I～Type Vの消波管の波形勾配 H/L と反射率 K_r および透過率 K_t の関係を示す。図中に同一水路で実験を行ったテトラポッドの値も併せて示した。反射率は、Type IIIを除くと、いずれの消波管も H/L が増加するに従って増加傾向を示すが、 $H/L > 0.05$ となると、一定もしくは減少傾向を示している。テトラポッドでは、 H/L が増加するに従い反射率は漸減傾向を示し、 $H/L > 0.05$ で一定値となるようである。Type IIIは、 H/L の変化に対応せず、ほぼ一定の高い反射率を示す。Type Vの H/L の小さい場合を除いて、いずれのTypeの消波管もテトラポッドより高い反射率を示している。

図-4に示した H/L と K_t の関係より、Type IIIを除くと、Type I と II およびテトラポッドでは H/L の増加に従い、透過率は漸増し、 $0.02 < H/L < 0.04$ の範囲で K_t がピーク値をとる。そして $H/L = 0.05$ 近くまで K_t は減少し、その後ほぼ一定となる。Type IVおよびVは、 H/L の小さい範囲では、 K_t の変化は少ないが、 $H/L > 0.04$ となると K_t が減少する傾向を示す。Type IIIでは、 H/L の増加に従い漸減傾向を示している。テトラポッドの透過率は、Type I～Vの消波管よりも大きくなり、水平消波管背面の静穩度はテトラポッドより小さくなることが判る。

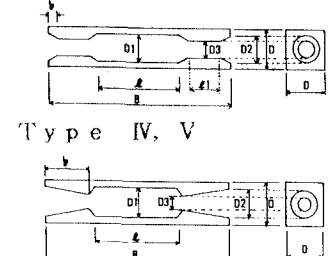


図-1 消波管模型

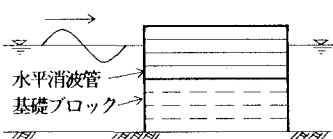


図-2 水平消波管

表-1 消波管模型諸元

(単位:mm)

	Type I	Type II	Type III	Type IV	Type V
B	120		480		120
D			25		
D ₁			20		
D ₂			20		
D ₃			10		14
l ₁	37	20		0	
l	26	60	420		80
b		5		15	17
開口率(ε)				12.5%	24.6%

表-2 実験波諸元

	水深	30.0 cm
実験波条件	周期	0.71 sec 1.00 sec 1.27 sec 1.41 sec
	波長	77.4 cm 137.2 cm 190.5 cm 217.2 cm
	波高	4.0 cm 6.0 cm

Type I と II の K_R , K_T の傾向を見ると、 H/L の変化に対してほぼ同じ様に変化していることから、Type I と II の断面形状では 1 の影響は無視できるとみなし。Type IV は $l_1 = 0$ とし、開口部の傾斜（テーパー角度）を緩くしたものである。Type IV は、Type I および II と同一開口率であるが、反射率は Type I と II より低下し、透過率はほぼ同様の傾向を示す。Type V では、Type IV に比べてさらにテーパー角度を緩くし、開口率を 2 倍にしたため、実験に用いた消波管の中で最も低い反射率となった。しかし、透過率は、Type I ~ IV より大きくなった。以上のことから、消波管のテーパー角度を緩くすると波が流入し易くなり、反射率が低下し、さらに開口率を大きくすると、流入量が増し、より反射率が低下することが明らかになった。Type III では、管内の急拡部分の長さが Type I と II に比べて 16~7 倍の長さになっていることから、管内に流入した水が管の後端から排水されるのに時間を要し、波が管中へ流入しづらくなっている H/L に関係なく反射率が高くなつたのではないかと推察される。

図-5 に波形勾配 H/L とエネルギー損失率 K_L^2 の関係を示す。 K_L^2 を除くと消波管の K_L^2 は、 H/L の増加に従って減少傾向を示す。Type III では H/L に関係なくほぼ一定となった。 $H/L < 0.03$ では、消波管の K_L^2 は 0.5~0.7 の範囲にあり、テトラボッドと同程度の K_L^2 となっている。特に Type IV および Type V では、テトラボッドより大きな K_L^2 になった。 $H/L > 0.03$ では、多少のばらつきはあるものの Type IV および V の K_L^2 は 0.50 以上あり消波管内の急縮・急拡構造によるエネルギー損失が十分に認められた。

4.まとめ

急縮・急拡の内部構造をもったパイプ状の透過性構造物（水平消波管）の水理模型実験を行い、次の結論を得た。

- ① 開口部のテーパー角度が緩くなると、波が流入し易くなり反射率が低下する。
- ② 開口率を大きくすると流入量が大きくなり、反射率は低下するが、消波管内の流れの影響が消波管背面の水域において、透過率が高くなるようである。
- ③ 急拡部分を長くすると、消波管内に流入した水の排出に時間を要し、後からくる波の流入を妨げ、その結果反射率を高くすると考えられる。
- ④ 波長の長い波に対しては、管の急縮・急拡によるエネルギー損失率が高いことが認められた。特に開口部のテーパー角度を緩くし、開口率を大きくすれば、テトラボッド程度の消波効果が得られることが明らかとなつた。

これらの結果から、水平消波管は、 H/L の小さな内湾のマリーナなどの防波堤として有効であるといえる。今回、水平消波管の消波特性を限られた条件の下で定性的に調べた。今後さらに詳しい検討が必要であろう。本実験を行うにあたり、久保田鉄工（株）生産技術部の田中彬夫氏以下同部員の皆様より（模型の提供等）多大の協力をいただいた。また、日本大学理工学部交通土木工学科卒業生 佐山正信君、および学部生の川崎政光君そして河野信夫君の協力を得た。深く感謝の意を表す。

参考文献

- 1) 合田良美他：不規則波実験における入・反射波の分離推定法、港湾技術資料、No.248, pp.1~24, 1976.

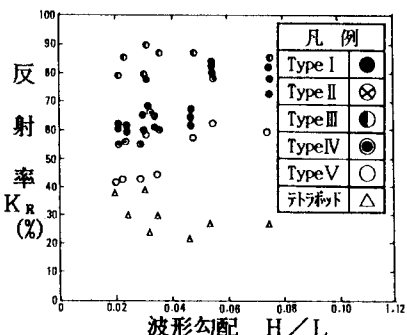


図-3 波形勾配と反射率の関係

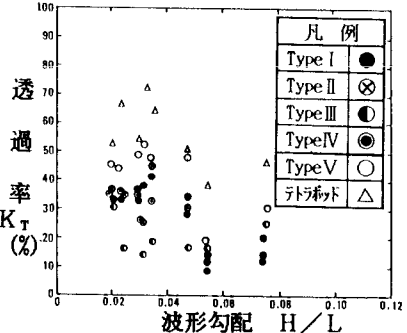


図-4 波形勾配と透過率の関係

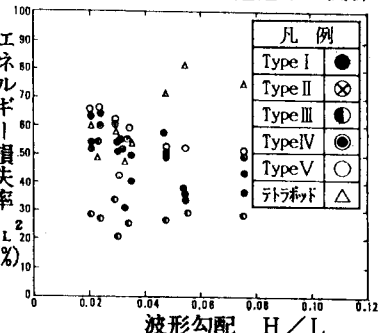


図-5 波形勾配とエネルギー損失率の関係